



UNIVERSIDADE FEDERAL DO CEARÁ

ANÁLISE E CONTROLE DE SISTEMAS NÃO LINEARES

Departamento de Engenharia Elétrica - UFC

TRABALHO 01: Análise de QSR-dissipatividade Estrita

Aluno:

Auro Gabriel Carvalho de Aramides - 507803

Professor: Diego de Sousa Madeira

Fortaleza-Ce
09/04/2024

Sumário

Sumário **2**

1 **Objetivos** 3

2 **Apresentação da Planta:** 3

3 **Procedimentos** 8

 3.1 Diagramas de Fase 8

 3.2 Análise de Dissipatividade Estrita: 12

4 **Código do Matlab:** 13

Referências **18**

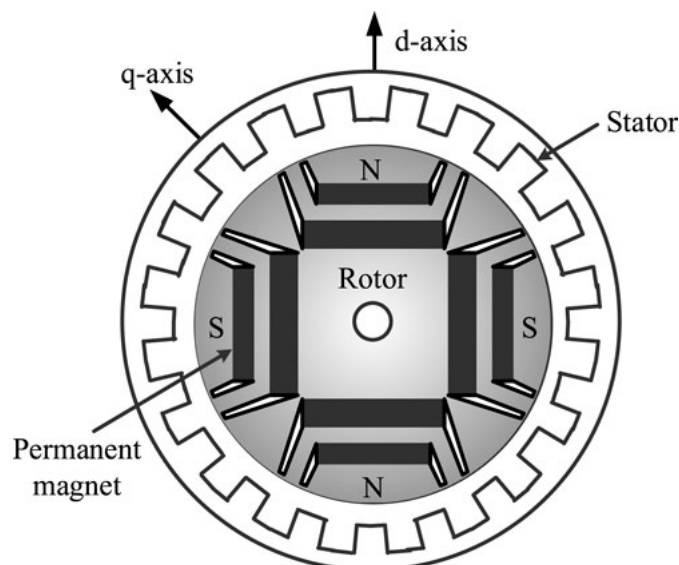
1 Objetivos

1. Selecionar um sistema preferencialmente polinomial que tenha uma aplicação prática. Descrever do que trata o modelo.
2. Simular as trajetórias do sistema em malha aberta ($u(x) = 0$).
3. Simular as trajetórias do sistema em malha fechada ($u(x)$ dado no artigo escolhido).
4. Aplicar o SOSTOOLS para verificar a QSR-dissipatividade estrita (e possivelmente local) do sistema.

2 Apresentação da Planta:

No artigo ([SABRA; KHASAWNEH; ZOHDY, 2014](#)), é apresentado um controle de torque não linear para um motor síncrono de ímã permanente interior (IPMSM). O controle não linear é baseado na técnica de Função de Lyapunov para Controle (CLF). A lei de feedback de estabilização proposta para o acionamento do IPMSM é um método de controle de amortecimento e é mostrado ser globalmente assintoticamente estável. O método CLF leva em conta as não linearidades do sistema no estágio de projeto do sistema de controle. Tais não linearidades são devido ao acoplamento cruzado entre as correntes q e d além dos parâmetros do sistema como as indutâncias e os vínculos de fluxo. O acionamento completo do IPMSM incorporando o CLF proposto foi simulado com sucesso em um modelo de planta para ambos, motor e inversor. O desempenho do acionamento proposto é investigado em simulação em diferentes condições de operação. Conclui-se que a técnica de controle proposta fornece um bom desempenho de controle de torque para o acionamento IPMSM garantindo a estabilidade global. Em trabalhos futuros, serão investigados outros fenômenos como saturação magnética, cargas não lineares, atrito mecânico e flexibilidades.

Figura 1 – Interior PMSM



fonte: ([LIU; ZHUANG, 2022](#))

A planta escolhida foi um PMSM com Imãs interiores, e foi utilizado o artigo [Sabra, Khasawneh e Zohdy \(2014\)](#), para obtenção dos controles e do modelo da planta:

Modelo da malha elétrica:

$$\begin{aligned} v_d &= i_d R_s + \frac{d\lambda_d}{dt} - \omega_e \lambda_q \\ v_q &= i_q R_s + \frac{d\lambda_q}{dt} + \omega_e \lambda_d \end{aligned} \quad (1)$$

Vínculos de fluxo dq:

$$\begin{aligned} \lambda_q &= L_q i_q \\ \lambda_d &= L_d i_d + \lambda_m \end{aligned} \quad (2)$$

Equações da malha elétrica em função de i_{dq} :

$$\begin{bmatrix} v_d \\ v_q \end{bmatrix} = \begin{bmatrix} R_s i_d + L_d \frac{di_d}{dt} - \omega_e L_q i_q \\ \omega_e L_d i_d + R_s i_q + L_q \frac{di_q}{dt} + \omega_e \lambda_m \end{bmatrix} \quad (3)$$

Equações da malha Mecânica:

$$\begin{aligned} T_e &= \frac{3}{2} n_p [\lambda_m i_q + (L_d - L_q) i_d i_q] \\ T_e &= T_l + k_f \omega_r + J \frac{d\omega_r}{dt} \end{aligned} \quad (4)$$

- i_d e i_q são as correntes direta e em quadratura [A]
- v_d e v_q são as tensões direta e em quadratura [V]
- R_s é a resistência do estator [Ω]
- L_d e L_q são as indutâncias direta e em quadratura [H]
- T_l é o torque de carga [Nm]
- T_e é o torque elétrico [Nm]
- J é o momento de inércia do motor e da carga
- k_f é o coeficiente de atrito do motor
- ω_r é a velocidade angular do rotor [rad/s]
- n_p é o número de pares de polos do motor
- $\omega_e = n_p \omega_r$ é a velocidade angular elétrica [rad/s]
- λ_m é o fluxo magnético permanente [Wb]
- λ_d e λ_q são os vínculos de fluxo em quadratura e direto

Através do artigo (SABRA; KHASAWNEH; ZOHDY, 2014) também foi obtido as leis de controle, que será apenas exposto sem explicações prévias pois fugiria do escopo do trabalho uma explicação da origem desses controladores propostos:

$$\begin{aligned} u_1(x) &= -\nabla V(x)f_1(x) = -\frac{p}{L_d}x_1 \\ u_2(x) &= -\nabla V(x)f_2(x) = -\frac{q}{L_q}x_2 \\ u_3(x) &= -\nabla V(x)f_3(x) = \frac{r}{J}x_3 \end{aligned} \quad (5)$$

Para garantir a estabilidade do controle proposto, os parâmetros de controle são selecionados para garantir que $\dot{V}(x) \leq 0$ para todo x .

$$p = q \frac{L_d^2}{L_q^2} \quad (6)$$

As variáveis de controle são agora reduzidas a alterar uma variável conforme dado por (6).

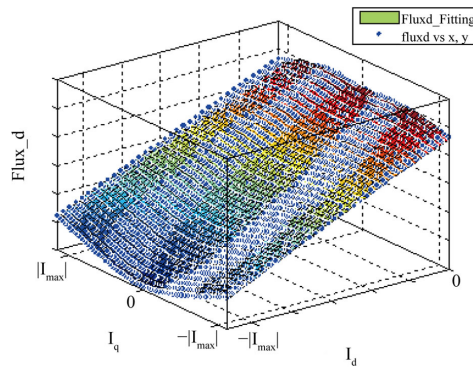
E então, a partir das equações de 1 à 6, podemos formar o modelo: (tal que $[x_1 x_2 x_3] = [i_d i_q \omega_r]$)

$$\begin{aligned} \begin{bmatrix} \dot{x}_1 \\ \dot{x}_2 \\ \dot{x}_3 \end{bmatrix} &= \begin{bmatrix} -\frac{R_s}{L_d(x_1)}x_1 + n_p \frac{L_q(x_2)}{L_d(x_1)}x_2x_3 \\ -\frac{R_s}{L_q(x_2)}x_2 - n_p \frac{L_d(x_1)}{L_q(x_2)}x_1x_3 - n_p \frac{\lambda_m}{L_d(x_1)}x_3 \\ -\frac{k_f}{J}x_3 - \frac{T_L}{J} \end{bmatrix} \\ &+ u_1 \begin{bmatrix} \frac{1}{L_d(x_1)} \\ 0 \\ 0 \end{bmatrix} + u_2 \begin{bmatrix} 0 \\ \frac{1}{L_q(x_2)} \\ 0 \end{bmatrix} + u_3 \begin{bmatrix} 0 \\ 0 \\ \frac{1}{J} \end{bmatrix} \end{aligned} \quad (7)$$

Conforme apresentado em (SABRA; KHASAWNEH; ZOHDY, 2014).

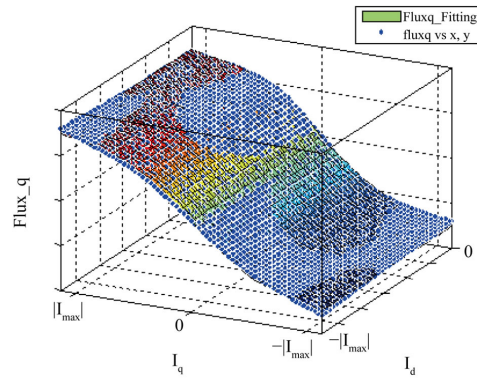
Outra observação é que os parâmetros da máquina variam ao longo do tempo, como foi apresentado em (SABRA; KHASAWNEH; ZOHDY, 2014) e pode ser visto nas figuras 2 à 6:

Figura 2 – λ_d



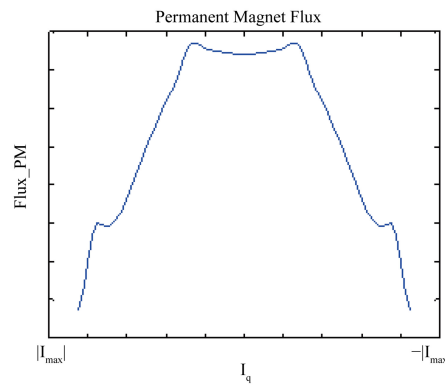
Fonte: (SABRA; KHASAWNEH; ZOHDY, 2014)

Figura 3 – λ_q



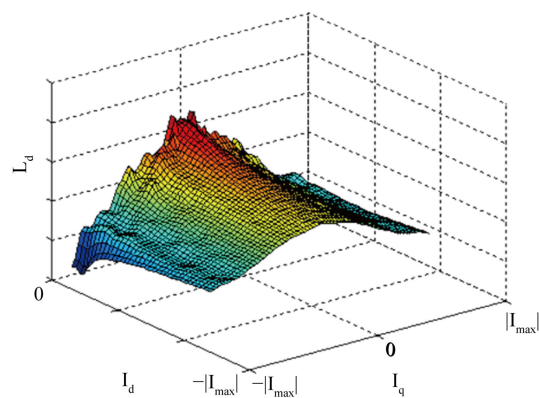
Fonte: (SABRA; KHASAWNEH; ZOHDY, 2014)

Figura 4 – λ_m



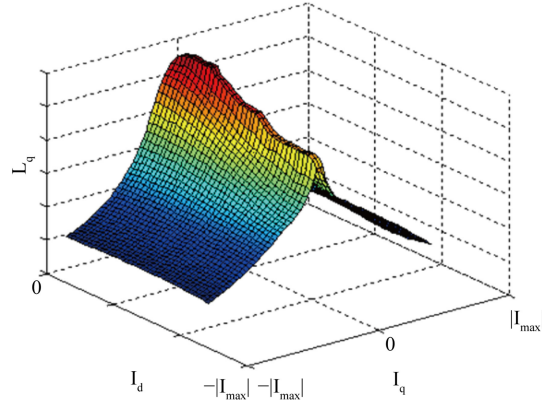
Fonte: (SABRA; KHASAWNEH; ZOHDY, 2014)

Figura 5 – L_d



Fonte: (SABRA; KHASAWNEH; ZOHDY, 2014)

Figura 6 – L_q



Fonte: (SABRA; KHASAWNEH; ZOHDY, 2014)

Contudo, apesar dessas distribuições específicas da geometria de cada máquina e do comportamento dela, é comum se utilizar apenas de valores médios e assumir essas variáveis como constantes, pois essas incertezas são rejeitadas pela controlador. Conforme pode ser visto na equação 3, os valores de L_d são assumidos como constantes no tempo, contudo, ao se modelar o sistema na equação 7 podemos escrever o L_d em função de valores das variáveis de estado, contudo foi optado por não se fazer isso, pois isso dificultaria a execução dessa atividade sem adicionar muito ao objetivo que ela foi proposta.

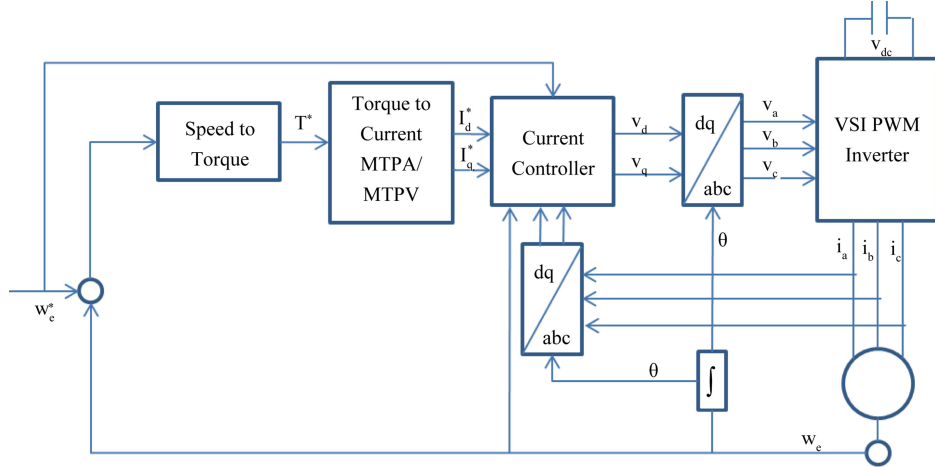
Tabela 1 – Não linearidades da Planta

Não Linearidades	
L_d	Não Linearidades dos Parâmetros
L_q	Polinomial (I_d)
λ_d	Senoidal (I_d, I_q)
λ_q	Senoidal (I_d, I_q)
λ_m	Senoidal (I_q)
Sistema	
T_e	Acoplamento entre I_{dq} e λ_{qd}
Estados	Acoplamento entre I_{dq} e w_r

Fonte: (SABRA; KHASAWNEH; ZOHDY, 2014)

Dos quais, apenas o acoplamento entre os Estados foram abordados nesse trabalho específico, mas com o intuito de nos próximos trabalhos dessa disciplina serem abordados de forma mais ampla e mais minuciosa.

Figura 7 – Diagrama de Blocos do Controle



Fonte: (SABRA; KHASAWNEH; ZOHDY, 2014)

Para fins analíticos foi escolhido um modelo de motor conforme mostra a tabela 2.

Tabela 2 – Parâmetros do PMSM Usados para Simulação

Parâmetros	Símbolo	Valor
Tensão nominal	V_{LL}	220 V
Potência de saída	P_{out}	900 W
Corrente do estator nominal	I_s	16.7 A
Pares de polos	P	4
Velocidade nominal	ω_m	1700rpm
Resistência do estator	R_s	4.3Ω
Vínculo de fluxo de ímã permanente	λ_{af}	0.272 Wb-espiras
Indutância do eixo q	L_d	27mH
Indutância do eixo d	L_q	67mH
Inércia do motor	J	0.000179 kg m ²

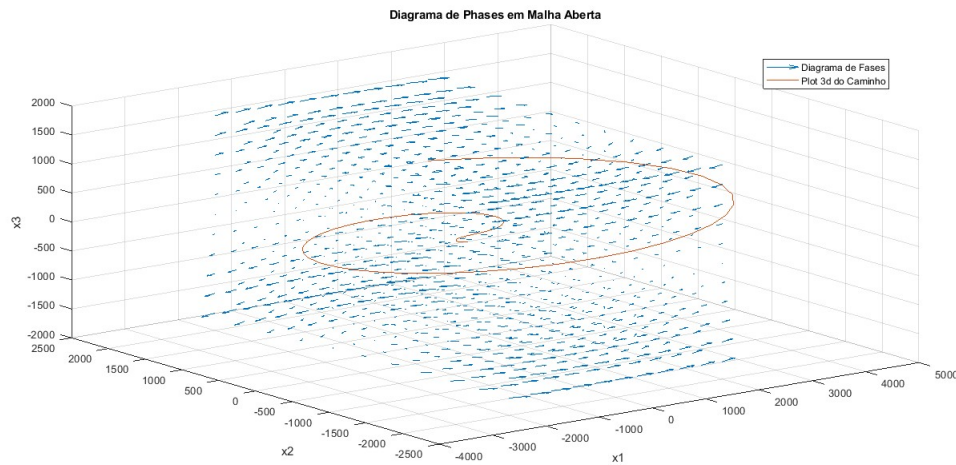
Fonte: (AMIN et al., 2017)

3 Procedimentos

3.1 Diagramas de Fase

Foi plotado o diagrama em malha aberta a partir da equação 7, fazendo $U=0$ e assumindo constante os parâmetros da máquina, o diagrama pode ser visto na figura 8, onde a planta é naturalmente estável.

Figura 8 – Diagrama Fase Malha Aberta



Fonte: O Próprio Autor

Após isso, foi utilizado o controlador da equação 5 no código com os parâmetros conforme mostrado abaixo, com a observação que o valor de r em zero faz com que a malha mecânica não tenha controle, isso foi feito pois no artigo não foi abordado métodos para se encontrar os possíveis valores de r .

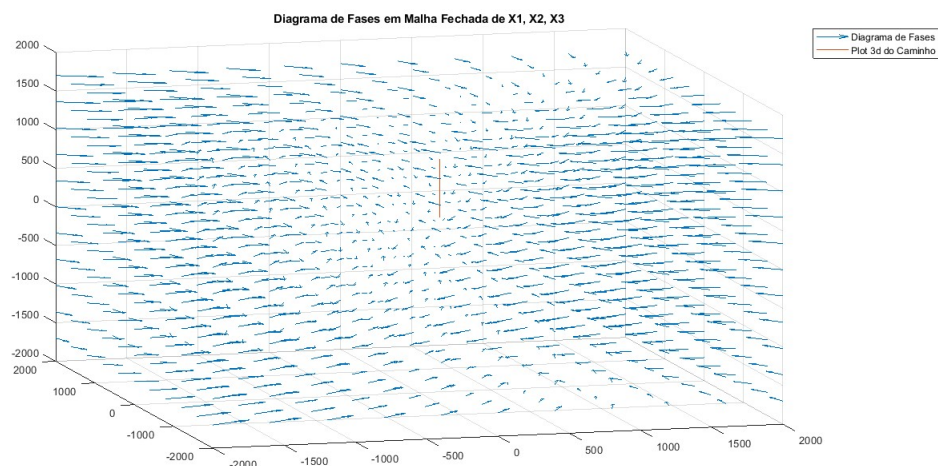
```
1 % Fatores de controle
2 q = 100;
3 p = (L_d^2 / L_q^2) * q;
4 r = 0;
```

Listing 1 – Código MATLAB

Conforme comentado anteriormente, foi zerado o valor do controle da malha mecânica, e, apesar disso, não foi feito nenhuma inconsistência com relação ao artigo, pois o controle da malha mecânica é de torque, sendo assim podemos ter qualquer valor de velocidade para estabilizar o torque. Como fugiria do escopo do presente trabalho encontrar um valor de r , apenas fiz a velocidade do motor ficar sem controle e plotei os diagramas fasoriais controlando apenas a malha elétrica.

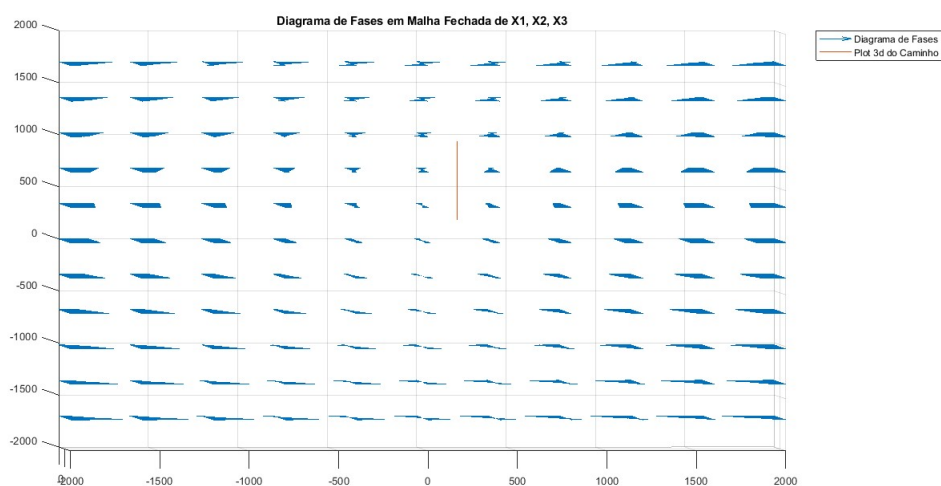
Conforme pode ser observado nas figuras 9 e 10, sem o controle da malha mecânica, para cada valor de velocidade (X_3) temos um plano de estabilidade, mas ao se analisar o caminho feito pelo sistema vemos que ele não converge para a origem, e isso se da a falta da malha mecânica controlada para convergir o sistema entre os planos de velocidade.

Figura 9 – Diagrama Fase Malha Fechada



Fonte:O Próprio Autor

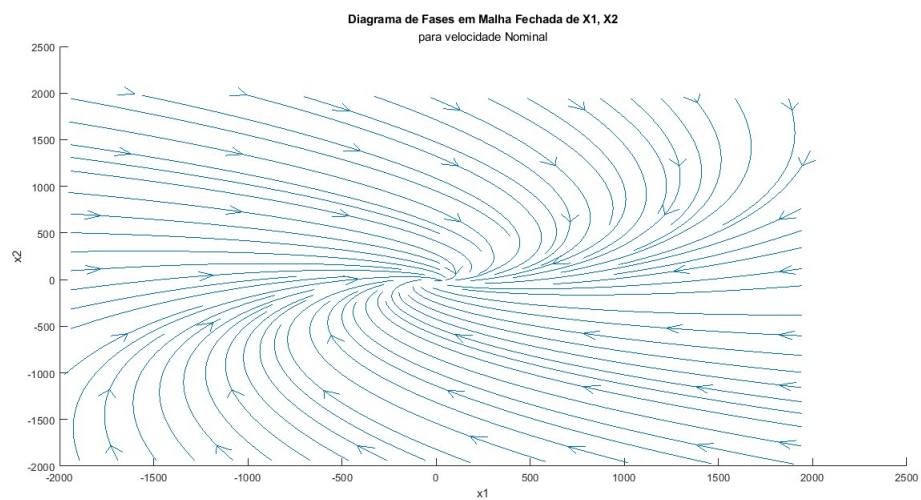
Figura 10 – Diagrama Fase Malha Fechada Vista Lateral



Fonte:O Próprio Autor

Para comprovar o que foi dito anteriormente, foi plotado o diagrama para a velocidade nominal, conforme mostrado na figura 11, e nela podemos ver a convergência do sistema.

Figura 11 – Diagrama Fase Malha Fechada Para um valor fixo de Velocidade



Fonte:O Próprio Autor

3.2 Análise de Dissipatividade Estrita:

Size: 2338 507

SeDuMi 1.3.7 by AdvOL, 2005-2008 and Jos F. Sturm, 1998-2003.

Alg = 2: xz-corrector, Adaptive Step-Differentiation, theta = 0.250, beta = 0.500

eqs m = 507, order n = 51, dim = 2340, blocks = 3

nnz(A) = 1215 + 0, nnz(ADA) = 257049, nnz(L) = 128778

it	b*y	gap	delta	rate	t/tP*	t/tD*	feas	cg	cg	prec
0		6.66E-01	0.000							
1	0.00E+00	2.05E-01	0.000	0.3079	0.9000	0.9000	1.00	2	0	1.5E+00
2	0.00E+00	1.91E-02	0.000	0.0931	0.9900	0.9900	1.00	2	2	1.4E-01
3	0.00E+00	3.43E-03	0.000	0.1797	0.9000	0.9163	1.00	2	1	3.2E-02
4	0.00E+00	8.13E-04	0.000	0.2371	0.9000	0.9097	1.00	2	2	8.4E-03
5	0.00E+00	2.15E-04	0.000	0.2646	0.9000	0.9012	1.00	3	4	2.1E-03

Run into numerical problems.

iter	seconds	digits	c*x	b*y
5	0.2	Inf	0.0000000000e+00	0.0000000000e+00

|Ax-b| = 4.7e-03, [Ay-c]_+ = 2.0E-04, |x| = 5.8e+00, |y| = 5.3e+00
No sensible solution found.

Detailed timing (sec)

Pre	IPM	Post
8.992E-03	1.990E-01	0.000E+00

Max-norms: ||b||=0, ||c|| = 0,
Cholesky |add|=0, |skip| = 1, ||L.L|| = 3.02984e+09.

Residual norm: 0.0047446

iter: 5
feasratio: 1.0000
pinf: 0
dinf: 0
numerr: 2
r0: 0.0047
timing: [0.0090 0.1990 0]
wallsec: 0.2080
cpusec: 0.2188

Delta=

ans =

-0.8119
-0.8119
-0.4079

V=

```
ans =  
7.2818e-17*x1^4 + 2.3938e-27*x1^3 - 1.2938e-17*x1^2
```

T=

```
ans =  
-0.40787*x1^2 + 7.5886e-14*x1*x2 - 6.001e-15*x1*x3 - 0.81193*x2^2  
+ 5.3706e-14*x2*x3 - 0.81193*x3^2 - 1.9807e-19*x1 + 7.7839e-18*x2  
- 2.0716e-16*x3
```

Assim, mostra-se que a ferramenta SOSTOOLS conseguiu atender à condição de dissipatividade estrita. Isso significa que o sistema selecionado é globalmente dissipativo estrito, com os valores de delta sendo inferiores a zero.

4 Código do Matlab:

O código fonte pode ser encontrado também no meu github: [Link do Repositório](#).

```
1 %% Variables  
2 clc  
3 clear  
4 close all  
5  
6 %Valores Tabelados:  
7 Rs=4.3;           %Resistencia do stator  
8 Ld=27e-3;         %Indutancia no eixo d  
9 Lq=67e-3;         %Indutancia no eixo q  
10 np=4;            %Numero de Polos  
11 Lambda_m=0.279;  %PM Flux Linkage  
12 J=1.79e-4;       %Momento de Inercia  
13  
14  
15 %Valores nao tabelados:  
16 Kf=0.001;        %Coeficiente de atrito  
17 T_load=1;        %Torque carga  
18  
19 %Fatores de controle  
20 q=100;  
21 p=(Ld^2/Lq^2)*q;  
22 r=0;  
23  
24  
25 %%%%%%%%%%%%%%%%%%%%%%%%%%%%%%%%%%%%%%%%%%%%%%%%%%%%%%%%%%%%%%%%%%%%%%%%%  
26 %% Diagrama de phases Malha Aberta  
27 %%%%%%%%%%%%%%%%%%%%%%%%%%%%%%%%%%%%%%%%%%%%%%%%%%%%%%%%%%%%%%%%%%%%%%%%%  
28  
29 % Malha aberta, u=0  
30 syms x1 x2 x3  
31 a = 0.2;  
32 [x1, x2, x3] =meshgrid(-2e3:4e2:2e3, -2e3:4e2:2e3, -1700:340:1700);  
33 % x3=1700;  
34 % Calcula as derivadas  
35 dx1 = (-Rs/Ld)*x1 + np*(Lq/Ld)*x2.*x3;
```

```

36 dx2 = (-Rs/Lq)*x2 - np*(Ld/Lq)*x1.*x3 - np*(Lambda_m/Ld)*x3;
37 dx3 = (-Kf/J)*x3-(T_load/J);
38
39 % % Plota o campo vetorial
40 figure
41 quiver3(x1, x2, x3, dx1, dx2, dx3);
42 % streamslice(x1,x2,dx1,dx2)
43 xlabel('x1');
44 ylabel('x2');
45 zlabel('x3');
46 title('Diagrama de Phases em Malha Aberta')
47 hold on
48 x0 = [2000 2000 300];
49 [t, x] = ode45(@MalhaAberta,[0 5e-2], x0);
50 plot3(x(:,1),x(:,2),x(:,3));
51 legend('Diagrama de Fases','Plot 3d do Caminho')
52
53 figure
54 plot(t,x(:,1),t,x(:,2),t,x(:,3))
55 legend('x1','x2','x3')
56 title('Variaveis de Estado no Tempo')
57 grid on
58
59 %%%%%%%%%%%%%%%%%%%%%%%%%%%%%%%%%%%%%%%%%%%%%%%%%%%%%%%%%%%%%%%%%%%%%%%%%
60 %% Diagrama de phases Malha Fechada
61 %%%%%%%%%%%%%%%%%%%%%%%%%%%%%%%%%%%%%%%%%%%%%%%%%%%%%%%%%%%%%%%%%%%%%%%%%
62
63 syms x1 x2 x3
64 % Parametros do grid
65 a = 0.8;
66 [x1, x2] = meshgrid(-2e3:4e2:2e3, -2e3:4e2:2e3);
67
68 % Calculo das variaveis de controle u(x)
69 u1 = (-p/Ld)*x1;
70 u2 = (-q/Lq)*x2;
71 u3 = (r/J)*x3;
72 x3=1700;
73 % Equacoes diferenciais
74 dx1 = (-Rs/Ld)*x1 + np*(Lq/Ld)*x2.*x3 + (u1/Ld);
75 dx2 = (-Rs/Lq)*x2 - np*(Ld/Lq)*x1.*x3 - np*(Lambda_m/Ld)*x3 + (u2/Lq);
76 % dx3 = (-Kf/J)*x3 - (T_load/J) + (u3/J);
77 dx3=0;
78 % % Plota o campo vetorial usando quiver3
79
80 figure
81 streamslice(x1,x2,dx1,dx2)
82 xlabel('x1');
83 ylabel('x2');
84 title('Diagrama de Fases em Malha Fechada de X1, X2', 'para velocidade
      Nominal')
85
86
87 [x1, x2, x3] = meshgrid(-2e3:4e2:2e3, -2e3:4e2:2e3, -1700:340:1700);
88 % Calculo das variaveis de controle u(x)
89 u1 = (-p/Ld)*x1;
90 u2 = (-q/Lq)*x2;
91 u3 = (r/J)*x3;
92
93 % Equacoes diferenciais
94 dx1 = (-Rs/Ld)*x1 + np*(Lq/Ld)*x2.*x3 + (u1/Ld);

```

```

95 dx2 = (-Rs/Lq)*x2 - np*(Ld/Lq)*x1.*x3 - np*(Lambda_m/Ld)*x3 + (u2/Lq);
96 dx3 = (-Kf/J)*x3 - (T_load/J) + (u3/J);
97
98 figure
99 quiver3(x1, x2, x3, dx1, dx2, dx3);
100 title('Diagrama de Fases em Malha Fechada de X1, X2, X3')
101 hold on
102 x0 = [200 200 200];
103 [t, x] = ode45(@MalhaFechada,[0 5e-9], x0);
104 plot3(x(:,1),x(:,2),x(:,3));
105 legend('Diagrama de Fases','Plot 3d do Caminho')
106
107 %%%%%%%%%%%%%%%%%%%%%%%%%%%%%%%%%%%%%%%%%%%%%%%%%%%%%%%%%%%%%%%%%%%%%%%%%
108 %% Verificar dissipatividade estrita global
109 %%%%%%%%%%%%%%%%%%%%%%%%%%%%%%%%%%%%%%%%%%%%%%%%%%%%%%%%%%%%%%%%%%%%%%%%%
110
111 pvar x1 x2 x3 u1 u2 u3;
112 dpvar Q R S rho;
113
114 vars = [x1;x2;x3;u1;u2;u3];
115 prog = sosprogram(vars);
116
117 x = [x1;x2;x3];
118 U = [u1;u2;u3];
119
120 % Definicao de g como um vetor de polinomios
121 g1 = -3.0074e10;
122 g2 = -7.4627e10;
123 g3 = 0;
124 g = [g1; g2; g3];
125
126
127 f = [(-Rs/Ld)*x1+np*(Lq/Ld)*x2*x3;(-Rs/Lq)*x2-np*(Ld/Lq)*x1*x3-np*(Lambda_m
    /Ld)*x3;(-Kf/J)*x3-(T_load/J)];
128
129 % Monomios
130 h = x;
131 prog = sosprogram(vars); %inicializa o programa sos
132
133 [prog,V] = sospolyvar(prog,monomials(x1,2:4),'wscoeff');
134 [prog,T] = sospolyvar(prog,monomials(x,1:2),'wscoeff');
135
136 Vx1 = diff(V,x1);
137 Vx2 = diff(V,x2);
138 Vx3 = diff(V,x3);
139
140 GradV = [Vx1 Vx2 Vx3];
141 prog = sosdecvar(prog,(rho));
142 [prog, Q] = sospolymatrixvar(prog, monomials(vars, 0), [length(h),
143 length(h)], 'symmetric');
144 [prog, S] = sospolymatrixvar(prog, monomials(vars, 0), [length(h),
145 length(U)]);
146 [prog, R] = sospolymatrixvar(prog, monomials(vars, 0), [length(U),
147 length(U)], 'symmetric');
148
149 expr = -((GradV*(f+g.*U)+ T) -h'*Q*h - 2*h'*S*U - U'*R*U );
150
151 prog = sosineq(prog,expr);
152 solver_opt.solver = 'sedumi';
153

```

```

154 prog = sossolve(prog,solver_opt);
155 q = sosgetsol(prog,Q);
156 r = double(sosgetsol(prog,R));
157 s = sosgetsol(prog,S);
158 delta = s*inv(r)*s'-q;
159
160 disp('Delta=')
161 eig(double(delta))
162 disp('V=')
163 sosgetsol(prog,V)
164 disp('T=')
165 sosgetsol(prog,T)
166
167 %%%%%%%%%%%%%%%%%%%%%%%%%%%%%%%%%%%%%%%%%%%%%%%%%%%%%%%%%%%%%%%%%%%%%%%%%
168 %% Function defines
169 %%%%%%%%%%%%%%%%%%%%%%%%%%%%%%%%%%%%%%%%%%%%%%%%%%%%%%%%%%%%%%%%%%%%%%%%%
170
171
172 function dx= MalhaFechada(t,x)
173
174 %Valores Tabelados:
175 Rs=4.3;           %Resistencia do stator
176 Ld=27e-3;         %Indutancia no eixo d
177 Lq=67e-3;         %Indutancia no eixo q
178 np=4;             %Numero de Polos
179 Lambda_m=0.279;   %PM Flux Linkage
180 J=1.79e-4;        %Momento de Inercia
181
182
183 %Valores nao tabelados:
184 Kf=0.02;          %Coeficiente de atrito
185 T_load=1;         %Torque carga
186
187 %Fatores de controle
188 q=100;
189 p=Ld^2/Lq^2;
190 r=1e1;
191
192 u1 = (-p/Ld)*x(1);
193 u2 = (-q/Lq)*x(2);
194 u3 = (r/J)*x(3);
195 dx=[(-Rs/Ld)*x(1) + np*(Lq/Ld)*x(2)*x(3) + (u1/Ld);
196     (-Rs/Lq)*x(2) - np*(Ld/Lq)*x(1)*x(3) - np*(Lambda_m/Ld)*x(3) + (u2/Lq);
197     (-Kf/J)*x(3) - (T_load/J) + (u3/J)];
198 end
199
200
201 function dx= MalhaAberta(t,x)
202 %Valores Tabelados:
203 Rs=4.3;           %Resistencia do stator
204 Ld=27e-3;         %Indutancia no eixo d
205 Lq=67e-3;         %Indutancia no eixo q
206 np=4;             %Numero de Polos
207 Lambda_m=0.279;   %PM Flux Linkage
208 J=1.79e-4;        %Momento de Inercia
209
210
211 %Valores nao tabelados:
212 Kf=0.02;          %Coeficiente de atrito
213 T_load=1;         %Torque carga

```



```

214
215 %Fatores de controle
216 q=100;
217 p=(Ld^2/Lq^2)*q;
218 r=0;
219
220 dx=[(-Rs/Ld)*x(1) + np*(Lq/Ld)*x(2)*x(3) ;
221      (-Rs/Lq)*x(2) - np*(Ld/Lq)*x(1)*x(3) - np*(Lambda_m/Ld)*x(3);
222      (-Kf/J)*x(3) - (T_load/J)   ];
223 end

```

Listing 2 – Código MATLAB

Referências

AMIN, F. et al. Modelling and simulation of field oriented control based permanent magnet synchronous motor drive system. *Indonesian Journal of Electrical Engineering and Computer Science*, v. 6, n. 2, p. 387–395, 05 2017. Citado na página 8.

LIU, T.-H.; ZHUANG, Y.-H. Maximum efficiency control and predictive-speed controller design for interior permanent magnet synchronous motor drive systems. *Frontiers in Electronics*, Frontiers Media SA, v. 3, p. 904976, September 2022. Disponível em: <https://www.frontiersin.org/article/10.3389/felec.2022.904976>. Citado na página 3.

SABRA, M.; KHASAWNEH, B.; ZOHDY, M. A. Nonlinear control of interior pmsm using control lyapunov functions. *Journal of Power and Energy Engineering*, Scientific Research Publishing, v. 2, n. 1, p. 10, 2014. Citado 6 vezes nas páginas 3, 4, 5, 6, 7 e 8.